

ЕКСПЕРИМЕНТАЛЬНОЕ ОПРЕДЕЛЕНИЕ АКТИВНОГО СОПРОТИВЛЕНИЯ И ЭЛЕКТРОПРОВОДНОСТИ СИЛЬНОТОЧНОГО ПЛАЗМЕННОГО КАНАЛА В РАЗРЯДНОЙ ЦЕПИ ГЕНЕРАТОРА ИМПУЛЬСНОЙ КОМПОНЕНТЫ ТОКА ИСКУССТВЕННОЙ МОЛНИИ

Експериментальним шляхом отримано наближені чисельні значення погонного активного електричного опору і питомої електропровідності сильноточного плазмового каналу повітряного іскрового розряду в колі потужного емісіонного накопичувача енергії, який використовується при формуванні імпульсної A- компоненти струму штучної блискавки з нормованою амплітудою не менше 200 кА.

Экспериментальным путем получены приближенные численные значения погонного активного электрического сопротивления и удельной электропроводности сильноточного плазменного канала воздушного искрового разряда в цепи мощного емкостного накопителя энергии, используемого при формировании импульсной A- компоненты тока искусственной молнии с нормированной амплитудой не менее 200 кА.

ВВЕДЕНИЕ

В [1] авторами были представлены результаты экспериментальной оценки основных электрических параметров (активного сопротивления, удельной электропроводности и напряженности электрического поля) для сильноточного плазменного канала (СПК) воздушного искрового разряда в цепи мощного генератора импульсного тока (ГИТ), предназначенного для формирования на электрической нагрузке (испытываемом объекте) повторной импульсной D- компоненты тока искусственной молнии. В соответствии с действующими сейчас международными требованиями [2-4] данная D- компонента тока молнии (как правило, отрицательной полярности) характеризуется следующими основными нормированными амплитудно-временными параметрами (АВП): амплитудой тока $I_{mD} = 100 \text{ кA}$ с допуском $\pm 10\%$; интегралом действия $J_D = 0,25 \cdot 10^6 \text{ A}^2 \cdot \text{s}$ при допуске $\pm 20\%$; временем амплитуды тока $t_{mD} \leq 25 \text{ мкс}$; длительностью протекания $\tau_u \leq 500 \text{ мкс}$. В практике испытаний технических объектов на стойкость к прямому (косвенному) воздействию имитированного сильноточного грозового разряда широко используется импульсная A- компонента тока искусственной молнии, нормированная амплитуда которой I_{mA} составляет 200 кА при допуске $\pm 10\%$ [2-4], что существенно превышает указанное выше значение I_{mD} . Из-за такого большого различия в значениях токовых амплитуд I_{mA} и I_{mD} следует ожидать и определенных отличий в основных электрических параметрах СПК воздушных искровых разрядов, возникающих в разрядных цепях соответствующих генераторов ГИТ-A и ГИТ-D, воспроизводящих в объектах испытаний A- и D- компоненты тока искусственной молнии. При реальной работе с генераторами ГИТ-A и ГИТ-D, технические характеристики которых и трех других генераторов, входящих в состав созданного в НИПКИ "Молния" НТУ "ХПИ" мощного генератора тока молнии (ГТМ), были ранее описаны в [5-8], обслуживающему персоналу для правильного выбора параметров их сильноточных разрядных цепей и выполнения испытаний технических объектов на молниестойкость требуется знать электрические параметры СПК воздушных искровых разрядов, ими-

тируемых над испытываемыми объектами и напрямую входящих в разрядные цепи указанных высоковольтных ГИТ. Это касается, прежде всего, активного сопротивления R_k и удельной электропроводности σ_k СПК воздушных искровых разрядов, длины которых в указанных ГИТ искусственной молнии могут составлять от 1 до 100 мм. Такие длины воздушных искровых промежутков в разрядных цепях этих ГИТ с малыми значениями их активных сопротивлений могут оказывать заметное влияние на АВП генерируемых ими импульсных токов молнии. Поэтому приведенные в [1] численные данные для R_k и σ_k характерные для D- компоненты тока искусственной молнии в разрядной цепи генератора ГИТ-D, нуждаются в экспериментальном уточнении применительно к импульсной A-компоненте имитированного тока молнии в разрядной цепи генератора ГИТ-A.

1. ПОСТАНОВКА ЗАДАЧИ ПО ОПРЕДЕЛЕНИЮ В СИЛЬНОТОЧНОЙ РАЗРЯДНОЙ ЦЕПИ ГИТ-А АКТИВНОГО СОПРОТИВЛЕНИЯ СПК ВОЗДУШНОГО ИСКРОВОГО РАЗРЯДА

Рассмотрим приведенную на рис. 1 двухэлектродную систему (ДЭС) рабочего стола ГТМ и принципиальную электрическую схему ГИТ-А (рис. 2), предназначенного для формирования на электрической нагрузке (испытываемом объекте) импульсной A- компоненты тока искусственной молнии. В соответствии с международными требованиями [2-4] данная компонента тока молнии (также обычно отрицательной полярности) характеризуется следующими основными нормированными АВП: амплитудой тока $I_{mA} = 200 \text{ кA}$ с допуском $\pm 10\%$; интегралом действия $J_A = 2 \cdot 10^6 \text{ A}^2 \cdot \text{s}$ при допуске $\pm 20\%$; временем амплитуды тока $t_{mA} \leq 50 \text{ мкс}$; длительностью протекания $\tau_u \leq 500 \text{ мкс}$. Принимаем, что в проводимых экспериментах длина d_B воздушного промежутка между верхним 1 и нижним 2 металлическими электродами ДЭС рабочего стола ГТМ, в котором формируется СПК искрового разряда, может варьироваться в пределах от 0,5 до 24,5 мм. Считаем, что указанная выше ДЭС выполняет роль эквивалента электрической нагрузки (с активными сопротивлениями R_Θ и R_D , индуктивностями L_Θ и L_D) для разрядной цепи ГИТ-А.

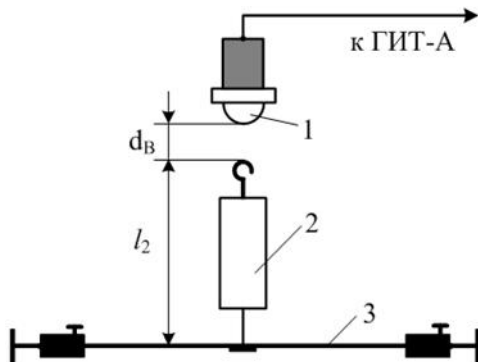


Рис. 1. Схематическое изображение ДЭС эквивалента электрической нагрузки генератора ГИТ-А для получения импульсной A-компоненты тока искусственной молнии

(1 – верхний стальной электрод; 2 – нижний медный электрод; 3 – алюминиевая пластина рабочего стола ГТМ)

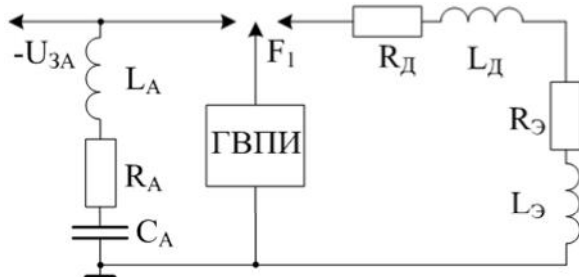


Рис. 2. Принципиальная электрическая схема разрядной цепи мощного генератора ГИТ-А для формирования импульсной A-компоненты тока искусственной молнии

Принимаем, что отрицательное зарядное напряжение U_{3A} для генератора ГИТ-А не превышает -27 кВ. Согласно данным схемы на рис. 2 основные собственные электрические параметры разрядной цепи генератора ГИТ-А реально имеют следующие значения: [1, 5-8]: $C_A = 333$ мкФ; $L_A = 2,5$ мкГн; $R_A = 0,057$ Ом; $L_\varnothing = 0,3$ мкГн; $R_\varnothing = 0,03$ Ом. С учетом того, что длина l_2 нижнего 2 медного электрода ДЭС составляет $0,36$ м, то его индуктивность L_D будет примерно равной $0,36$ мкГн. Выполненная расчетная оценка активного сопротивления R_{D2} нижнего 2 медного электрода ДЭС, изготовленного на основе радиочастотного кабеля марки РК 75-44-15 без медной оплетки (с диаметром круглой жилы, равным $6,6$ мм), показывает, что оно не превышает значения $2 \cdot 10^{-4}$ Ом. Это дает основание для его неучета в разрядной цепи генератора ГИТ-А при анализе влияния активного сопротивления R_k исследуемого СПК на АВП рассматриваемой нами A-компоненты тока искусственной молнии. Отметим, что алюминиевая пластина 3 в воздушной ДЭС рабочего стола ГТМ выполнена из листа (алюминиевый сплав марки АМц) толщиной 2 мм с размерами в плане $0,5 \times 0,5$ м². В соответствии с электрической схемой рис. 2 полагаем, что активное сопротивление $R_D = R_k$ обусловлено высоконизированным СПК, возникающим в воздушном промежутке описанной выше ДЭС длиной d_B и имеющим цилиндрическую конфигурацию. Принимаем, что данный СПК в воздушном промежутке ДЭС длиной $d_B = 24,5$ мм над нижним медным электродом 2 инициируется при помощи закрепленного на верхнем

стальном электроде 1 ДЭС электрически взрывающегося тонкого прямолинейного медного провода без изоляции диаметром $0,2$ мм и длиной 50 мм. Полагаем, что при длине $d_B = 0,5$ мм происходит самопробой воздушного промежутка ДЭС в разрядной цепи генератора ГИТ-А.

Требуется по результатам расшифровки осциллографов импульсной A-компоненты тока искусственной молнии, получаемых в разрядной цепи мощного генератора ГИТ-А с СПК атмосферного воздушного искрового разряда соответственно длиной $0,5$ мм и $24,5$ мм, определить активное электрическое сопротивление R_k , электропроводность σ_k и напряженность E_k продольного электрического поля для данного сильноточного плазменного канала с амплитудой импульсного тока I_{mA} в нем не менее 200 кА.

2. РЕЗУЛЬТАТЫ ЭКСПЕРИМЕНТАЛЬНЫХ ИССЛЕДОВАНИЙ ВЛИЯНИЯ СПК ВОЗДУШНОГО ИСКРОВОГО РАЗРЯДА НА АВП ИМПУЛЬСНОЙ A-КОМПОНЕНТЫ ТОКА ИСКУССТВЕННОЙ МОЛНИИ

Согласно рис. 2 при подаче от генератора высоковольтных поджигающих импульсов (ГВПИ) на управляемый электрод трехэлектродного воздушного разрядника F_1 каскадного типа импульса микросекундной длительности положительной полярности амплитудой 100 кВ [5, 7] предварительно заряженный до отрицательного напряжения $U_{3A} = -27$ кВ емкостный накопитель энергии генератора ГИТ-А разряжается на описанный выше эквивалент нагрузки и формирует на нем требуемую в соответствии с [2-4] импульсную A-компоненту тока молнии. На рис. 3 приведена осциллограмма такого импульсного тока, полученная с помощью метрологически поверенного измерительного коаксиального шунта ШК-300 [5, 6] и цифрового запоминающего осциллографа типа *Tektronix TDS 1012* практически при $R_D = R_k = 0$ (масштаб по вертикали – 5 В/кл; масштаб по горизонтали – 50 мкс/кл). Из приведенной на рис. 3 осциллограммы импульсной A-компоненты тока молнии видно, что при коэффициенте преобразования метрологически поверенного коаксиального шунта ШК-300, численно равном для рассматриваемой составляющей грозового тока $K_A = 11261$ А/В [5, 6], ее первая наибольшая амплитуда I_{mA} будет примерно равной $19,4\text{B} \times 11261\text{A/V} = 218,5$ кА. Данной амплитуде импульсного тока I_{mA} соответствует время, равное $t_{mA} = 36$ мкс. Переход через ось абсцисс первой отрицательной полуволны A-компоненты тока молнии происходит при времени $t_{A1} = 100$ мкс, ее второй положительной полуволны – при времени $t_{A2} = 204$ мкс, а ее третьей отрицательной полуволны – при времени $t_{A3} = 308$ мкс. Согласно данным рис. 3 амплитуда второй положительной полуволны рассматриваемого тока не превышает $69,2$ кА, а амплитуда третьей отрицательной полуволны – $12,9$ кА. Импульсная A-компоненты тока искусственной молнии, генерируемая ГИТ-А на принятом эквиваленте электрической нагрузки, даже при длине воздушного промежутка $d_B = 0,5$ мм характеризуется сильным затуханием (логарифмический декремент его колебаний Δ_A составляет около $2,825$).

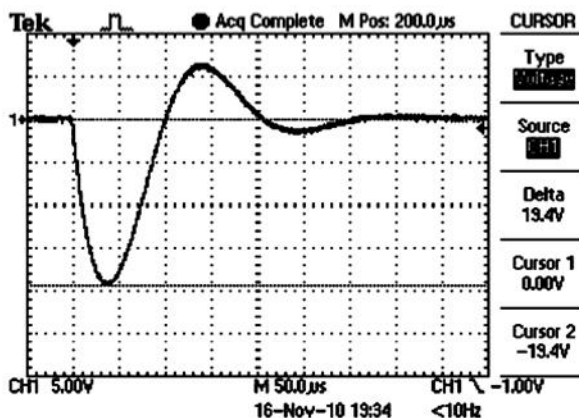


Рис. 3. Осциллограмма A -компоненты тока искусственной молнии при разряде мощного генератора ГИТ- A на эквивалент нагрузки с воздушным зазором 0,5 мм ($U_{3A} = -27$ кВ)

При периоде колебаний T_A импульсного тока, равном 204 мкс, коэффициент затухания δ_A в разрядной цепи генератора ГИТ- A будет равным $\delta_A = \Delta_A/T_A = 13,85 \cdot 10^3$ с⁻¹. С помощью формулы Томсона находим, что при $T_A = 204$ мкс полная индуктивность разрядного контура ГИТ- A составит 3,16 мГн. Полное активное сопротивление $(R_A + R_3) = 2 \cdot (L_A + L_3 + L_D) \cdot \delta_A$ разрядной цепи генератора ГИТ- A , найденное по осциллографу на рис. 3, оказывается в результате равным 0,087 Ом. Это значение для $(R_A + R_3)$ полностью соответствует принятым исходным электрическим параметрам для сильноточной цепи разряда ГИТ- A .

На рис. 4 представлена осциллографическая исследуемой A - компоненты тока искусственной молнии, полученной в рассматриваемой согласно рис. 2 разрядной схеме ГИТ- A при $d_B = 24,5$ мм и $U_{3A} = -27$ кВ. Наибольшая амплитуда первой отрицательной полуволны импульсной A -составляющей имитированного в полевых лабораторных условиях тока молнии при $U_{3A} = -27$ кВ оказывается здесь примерно равной 19,0 В \times 11261 А/В = = 213,9 кА. Этой амплитуде импульсного тока I_{mA} соответствует время, равное $t_{mA} = 38$ мкс. Амплитуда второй положительной полуволны данной компоненты тока молнии принимает значение 67,6 кА, а амплитуда его третьей отрицательной полуволны – 11,9 кА. Период колебаний T_A импульсного тока согласно рис. 4 оказывается равным 206 мкс. Поэтому в этом случае логарифмический декремент колебаний Δ_A составит около 2,889. Тогда при $T_A = 206$ мкс коэффициент затухания в разрядной цепи генератора ГИТ- A будет равным $\delta_A = \Delta_A/T_A = 14,02 \cdot 10^3$ с⁻¹. Для полной индуктивности рассматриваемого разрядного контура генератора ГИТ- A с воздушным искровым промежутком длиной $d_B = 24,5$ мм находим, что при $T_A = 206$ мкс и $C_A = 333$ мкФ ее значение составит 3,22 мГн. Тогда в соответствии с осциллографом рис. 4 полное активное сопротивление исследуемой разрядной цепи генератора ГИТ- A будет примерно равным 0,091 Ом.

Сравнение токовых осциллографов, приведенных на рис. 3 и 4, показывает, что из-за использования вместо массивной стальной цилиндрической вставки диаметром 20 мм и длиной 24 мм в сильноточной цепи разряда генератора ГИТ- A эквивалента нагрузки с

суммарной длиной воздушного искрового промежутка $d_B = 24,5$ мм других заметных изменений для АВП данного тока молнии не наблюдается. Поэтому можно говорить о том, что введение в разрядную цепь генератора ГИТ- A искрового воздушного промежутка с цилиндрическим СПК длиной $d_B = 24$ мм вызывает уменьшение амплитуды I_{mA} первой полуволны импульсной A -компоненты тока искусственной молнии примерно на 4,5 кА, то есть практически на 2 %.

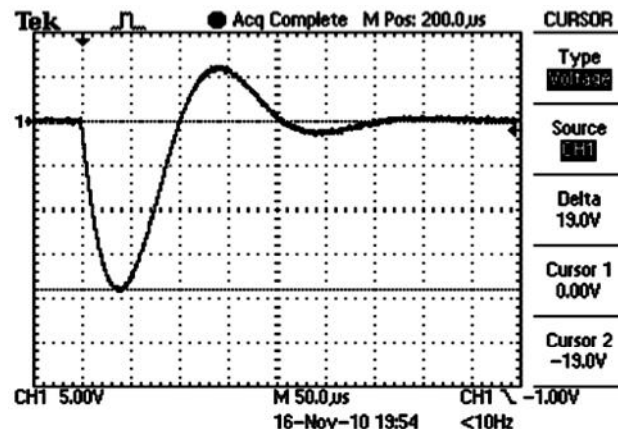


Рис. 4. Осциллограмма A -компоненты тока искусственной молнии при разряде мощного генератора ГИТ- A на эквивалент нагрузки с воздушным зазором 24,5 мм ($U_{3A} = -27$ кВ)

Данному уменьшению значения первой амплитуды I_{mA} исследуемой A - компоненты тока молнии соответствует введение в разрядную цепь генератора ГИТ- A сосредоточенного активного сопротивления R_D , численно равного $R_k = 0,004$ Ом. Тогда при $d_B = 24$ мм для погонного активного сопротивления R_{k0} СПК воздушного искрового разряда в сильноточной разрядной цепи генератора ГИТ- A , формирующего импульсную A - компоненту тока искусственной молнии с нормированной первой амплитудой $I_{mA} = 213,9$ кА, получаем меньшее в 5,5 раз чем в [1] для плазмы СПК в цепи ГИТ- D численное значение:

$$R_{k0} = R_k / d_B = 0,167 \cdot 10^{-3} \text{ Ом/мм} = 0,167 \text{ Ом/м.} \quad (1)$$

3. ОПРЕДЕЛЕНИЕ ЭЛЕКТРОПРОВОДНОСТИ ПЛАЗМЫ В СПК ВОЗДУШНОГО ИСКРОВОГО РАЗРЯДА ДЛЯ ИМПУЛЬСНОЙ A -КОМПОНЕНТЫ ТОКА ИСКУССТВЕННОЙ МОЛНИИ

Величину усредненной удельной электропроводности σ_k высокийонизированной низкотемпературной плазмы СПК воздушного искрового разряда в сильноточной цепи генератора ГИТ- A при формировании импульсной A - компоненты тока искусственной молнии (с максимальной электронной температурой в канале этого сильноточного разряда около $12 \cdot 10^3$ К [9]) с учетом изложенного выше подхода по определению активного сопротивления R_k данного СПК находим из классического соотношения вида [1]:

$$\sigma_k = d_B / (\pi \cdot r_{0m}^2 \cdot R_k), \quad (2)$$

где r_{0m} – максимальный радиус СПК воздушного искрового разряда в цепи генератора ГИТ- A .

Величину радиуса r_{0m} , входящую в формулу (2), определяем по известной формуле Брагинского,

имеющей на земной поверхности (вблизи уровня моря) в системе СИ следующий вид [1, 10]:

$$r_{0m} = 0,093 \cdot I_{mA}^{1/3} \cdot t_{mA}^{1/2}, \quad (3)$$

где t_{mA} – время, соответствующее амплитуде I_{mA} первой полуволны импульсной A - компоненты тока искусственной молнии.

Из выражения (3) для нашего случая ($d_B = 24,5$ мм и $U_{3A} = -27$ кВ) при амплитуде $I_{mA} = 213,9 \cdot 10^3$ А и времени $t_{mA} = 38 \cdot 10^{-6}$ с находим, что максимальный радиус r_{0m} высокоионизированного низкотемпературного СПК искрового разряда в атмосферном воздухе для цепи мощного генератора ГИТ-А принимает значение 34,28 мм. В результате из (2) вытекает, что в рассматриваемом случае при $d_B = 24 \cdot 10^{-3}$ м, $R_k = 0,004$ Ом и $r_{0m} = 34,28 \cdot 10^{-3}$ м для усредненной удельной электропроводности σ_k исследуемого в атмосферном воздухе СПК искрового разряда, имитирующего на эквиваленте электрической нагрузки ГТМ с ДЭС импульсную A - компоненту тока искусственной молнии, на основании примененного авторами расчетно-экспериментального подхода получаем количественное значение, приближенно равное 1625 (Ом·м)⁻¹. Это значение удельной электропроводности σ_k плазмы СПК импульсной A - компоненты тока искусственной молнии с нормированными АВП оказывается всего лишь в 1,2 раза большим, чем значение σ_k , характерное для плазмы СПК повторной импульсной D -компоненты тока молнии и найденное опытным путем в [1]. Кроме того, полученное здесь численное значение для усредненной удельной электропроводности σ_k плазмы сильноточного канала воздушного искрового разряда в цепи генератора ГИТ-А оказывается примерно в 31 раз меньшим соответствующего значения для σ_k , характерного для низкотемпературной плазмы при инициировании подводного искрового разряда электрическим взрывом (ЭВ) металлического провода [11]. Связано это с тем, что согласно данным табл. 2 из [11] при подводном ЭВ тонкого металлического провода максимальный радиус канала искрового разряда составляет лишь около 2,14 мм (при амплитуде разрядного тока в цепи ГИТ в 88 кА и амплитуде импульсного давления внутри канала подводного разряда не менее 365 МПа), а активное электрическое сопротивление плазменного канала длиной 40 мм принимает значение, равное примерно $R_k = 0,057$ Ом. Подстановка этих экспериментальных количественных данных из [11] в используемое нами расчетное соотношение (2) при длине канала подводного разряда в 40 мм и обуславливает усредненную электропроводность σ_k его весьма плотной высокоионизированной плазмы, приближенно равную 48778 (Ом·м)⁻¹. Это оценочное по (2) усредненное значение для удельной электропроводности σ_k плазмы СПК искрового разряда при подводном ЭВ тонкого металлического провода хорошо согласуется с соответствующими экспериментальными данными, приведенными в табл. 2 из [11] для сильноточных разрядных искровых каналов в конденсированных средах. Эти данные могут свидетельствовать о правомерности использования соотношения (2) при оценке искомых значений удельной электропроводности σ_k

плазмы в канале сильноточного воздушного искрового разряда.

На основании полученных в данной работе расчетно-экспериментальных результатов для СПК воздушного искрового разряда в сильноточной цепи мощного генератора ГИТ-А с нормированными АВП импульсной A - компоненты тока имитированной молнии видно, что при определении его активного сопротивления R_k и удельной электропроводности σ_k применять количественные данные, характерные для металлической плазмы СПК в разрядной цепи генератора ГИТ-Д при получении повторной импульсной D -компоненты тока искусственной молнии [1], нельзя.

4. ОЦЕНКА ПРОДОЛЬНОЙ НАПРЯЖЕННОСТИ ЭЛЕКТРИЧЕСКОГО ПОЛЯ В СПК ВОЗДУШНОГО ИСКРОВОГО РАЗРЯДА ДЛЯ ИМПУЛЬСНОЙ A -КОМПОНЕНТЫ ТОКА ИСКУССТВЕННОЙ МОЛНИИ

Приведенные выше результаты для активного сопротивления R_k и электропроводности σ_k СПК воздушного искрового разряда позволяют осуществлять приближенную расчетную оценку максимальной напряженности E_{mk} продольного электрического поля в СПК воздушного искрового разряда атмосферного давления для разрядной цепи генератора ГИТ-А при получении импульсной A -компоненты тока искусственной молнии по следующим выражениям:

$$E_{mk} = I_{mA} / (\pi r_{0m}^2 \sigma_k) = I_{mA} \cdot R_k / d_B. \quad (4)$$

После подстановки в (4) полученных расчетно-экспериментальным путем значений I_{mA} и R_k или I_{mA} , r_{0m} и σ_k для искомой величины напряженности E_{mk} в высокоионизированной плазме сильноточного воздушного искрового разряда при $d_B = 24 \cdot 10^{-3}$ м и $I_{mA} = 213,9$ кА находим, что она имеет численное значение, равное примерно 35,7 кВ/м = 35,7 В/мм. Это значение для E_{mk} оказывается примерно в 2,3 раза меньше уровня напряженности продольного электрического поля, характерного для плазмы СПК воздушного искрового разряда в цепи генератора ГИТ-Д [1]. В этой связи на искровом воздушном промежутке ДЭС длиной $d_B = 24,5$ мм рабочего стола генератора ГИТ-А падает импульсное электрическое напряжение отрицательной полярности с амплитудой, равной около 0,87 кВ. Данное напряжение составляет примерно 3 % от зарядного отрицательного электрического напряжения $U_{3A} = -27$ кВ мощного генератора ГИТ-А, используемого в составе ГТМ при получении импульсной A -компоненты тока искусственной молнии с нормированными согласно требованиям [2-4] АВП.

ЗАКЛЮЧЕНИЕ

1. На основании проведенных в полевых лабораторных условиях экспериментов на уникальном ГТМ отечественной разработки определены значения активного сопротивления R_k , усредненной удельной электропроводности σ_k и максимальной напряженности E_{mk} продольного электрического поля для СПК воздушного искрового разряда с высокоионизированной низкотемпературной металлической плазмой в сильноточной разрядной цепи мощного генератора с

емкостным накопителем электрической энергии, предназначенного для формирования на активно-индуктивной электрической нагрузке нормированной в соответствии с действующими международными требованиями согласно [2-4] импульсной А- компоненты тока искусственной молнии.

2. Полученные опытные результаты могут быть использованы инженерно-техническим персоналом в качестве руководящего технического материала при выполнении натурных испытаний различных технических объектов на стойкость к прямому (косвенному) воздействию больших импульсных токов молний, имитируемых в лабораторных условиях на открытом воздухе.

СПИСОК ЛИТЕРАТУРЫ

1. Баранов М.И., Кoliушко Г.М., Лысенко В.О. и др. Экспериментальная оценка электрического сопротивления и электропроводности сильноточного плазменного канала в цепи разряда мощного генератора тока искусственной молнии // Електротехніка і електромеханіка. – 2011. – № 1. – С. 61-64.
2. SAE ARP 5412/ED-84. Нормативный документ "Рекомендуемая практика авиационно-космических работ. Идеализированные составляющие внешнего тока" (США), 1985. – С. 30-39.
3. SAE ARP 5416/ED-84. Нормативный документ "Рекомендуемая практика авиационно-космических работ. Условия воздействия молнии на летательные аппараты и соответствующие формы испытательных сигналов" (США), 1997. – 145 с.
4. КТР-ВВФ/DO-160D/ED-14D. Квалификационные требования "Условия эксплуатации и окружающей среды для бортового авиационного оборудования. Требования, нормы и методы испытаний". Раздел 23.0. "Прямое воздействие молний". – М.: Изд-во госстандартов Российской Федерации, 2004. – С. 258-273.
5. Баранов М.И., Кoliушко Г.М., Кравченко В.И. и др. Генератор тока искусственной молнии для натурных испытаний технических объектов // Приборы и техника эксперимента. – 2008. – № 3. – С. 81-85.
6. Баранов М.И., Кoliушко Г.М., Кравченко В.И. и др. Высоковольтные сильноточные воздушные разрядники генератора тока искусственной молнии // Приборы и техника эксперимента. – 2008. – № 6. – С. 58-62.
7. Баранов М.И., Кoliушко Г.М., Кравченко В.И. и др. Мощная высоковольтная электрофизическая установка для имитации полного тока молнии и ее применение в области молниезащиты технических объектов // Електротехніка і електромеханіка. – 2008. – № 3. – С. 69-75.
8. Баранов М.И., Кoliушко Г.М., Кравченко В.И. и др. Мощный импульсный генератор тока молнии: разработка и примеры применения / Физика импульсных разрядов в конденсированных средах: Материалы Международной научной конференции (17-21 августа 2009 г.). – Николаев: КП "Миколаївська обласна друкарня", 2009. – С. 113-115.
9. Баранов М.И. Приближенный расчет максимальной температуры плазмы в сильноточном канале искрового разряда // Технічна електродинаміка. – 2010. – № 5. – С. 7-11.
10. Баранов М.И. Избранные вопросы электрофизики: Монография в 2-х томах. Том 2, Кн. 2: Теория электрофизических эффектов и задач. – Харьков: Изд-во "Точка", 2010. – 407 с.
11. Гулый Г.А. Научные основы разрядно-импульсных технологий.– Киев: Наукова думка, 1990. – 208 с.

Bibliography (transliterated): 1. Baranov M.I., Koliushko G.M., Lysenko V.O. i dr. `Eksperimental'naya ocenka `elektricheskogo sопrotivleniya i `elektroprovodnosti sil'notochnogo plazmennogo kanala v cepi razryada moschnogo generatora toka iskusstvennoj molnii // Elektrotehnika i elektromehanika. – 2011. – № 1. – S. 61-64. 2. SAE ARP 5412/ED-84. Normativnyj dokument "Rekomenduemaya praktika aviacionno-kosmicheskikh rabot. Idealizirovannye sostavlyayuschie vneshnego toka" (SShA), 1985. – S. 30-39. 3. SAE ARP 5416/ED-84. Normativnyj dokument "Rekomenduemaya praktika aviacionno-kosmicheskikh rabot. Usloviya vozdejstviya molnii na letatel'nye apparaty i sootvetstvuyuschie formy ispytatel'nyh signalov" (SShA), 1997. – 145 s. 4. KTR-VVF/DO-160D/ED-14D. Kvalifikacionnye trebovaniya "Usloviya `ekspluatacii i okruzhauschey sredy dlya bortovogo aviacionnogo oborudovaniya. Trebovaniya, normy i metody ispytanij". Razdel 23.0. "Pryamoe vozdejstvie molnii". – M.: Izd-vo gosstandartov Rossijskoj Federacii, 2004. – S. 258-273. 5. Baranov M.I., Koliushko G.M., Kravchenko V.I. i dr. Generator toka iskusstvennoj molnii dlya naturnyh ispytanij tehnicheskikh ob`ektov // Pribory i tekhnika `eksperimenta. – 2008. – № 3. – S. 81-85. 6. Baranov M.I., Koliushko G.M., Kravchenko V.I. i dr. Vysokovol'tnye sil'notochnye vozduzhnye razryadniki generatora toka iskusstvennoj molnii // Pribory i tekhnika `eksperimenta. – 2008. – № 6. – S. 58-62. 7. Baranov M.I., Koliushko G.M., Kravchenko V.I. i dr. Moschnaya vysokovol'tnaya `elektrofizicheskaya ustanova dlya imitacii polnogo toka molnii i ee primenenie v oblasti molniezaschity tehnicheskikh ob`ektov // Elektrotehnika i elektromehanika. – 2008. – № 3. – S. 69-75. 8. Baranov M.I., Koliushko G.M., Kravchenko V.I. i dr. Moschnyyj impul'snyj generator toka molnii: razrabotka i primery primeneniya / Fizika impul'snyh razryadov v kondensirovannyh sredah: Materialy Mezhdunarodnoj nauchnoj konferencii (17-21 avgusta 2009 g.). – Nikolaev: KP "Mikolaїvs'ka oblastna drukarnya", 2009. – S. 113-115. 9. Baranov M.I. Priblizhennyj raschet maksimal'noj temperatury plazmy v sil'notochnom kanale iskovogo razryada // Tehnichna elektrodinamika. – 2010. – № 5. – S. 7-11. 10. Baranov M.I. Izbrannye voprosy `elektrofiziki: Monografiya v 2-h tomah. Tom 2, Kn. 2: Teoriya `elektrofizicheskikh `effektov i zadach. – Har'kov: Izd-vo "Tochka", 2010. – 407 s. 11. Gulyj G.A. Nauchnye osnovy razryadno-impul'snyh tehnologij. – Kiev: Naukova dumka, 1990. – 208 s.

Поступила 23.12.2010

Баранов Михаил Иванович, д.т.н., с.н.с.,
Колиушко Георгий Михайлович, к.т.н., с.н.с.,
Лысенко Виталия Олеговна
НИПКИ "Молния"
Национального технического университета
"Харьковский политехнический институт"
61013, Харьков, ул. Шевченко, 47
тел. (057) 707-68-41, e-mail: eft@kpi.kharkov.ua

Baranov M.I., Koliushko G.M., Lysenko V.O.
**Experimental determination of active resistance
and conductivity of a heavy-current plasma channel
in the discharge loop of a powerful generator of artificial
lightning current pulse component.**

Approximate numerical values are experimentally obtained for linear ohmic resistance and specific conductivity of a heavy-current plasma channel of an air spark discharge in the loop of a powerful capacitive storage applied for artificial lightning current pulse A-component formation with the rated magnitude not less than 200 kA.

Key words – air spark discharge, heavy-current plasma channel, electric resistance, conductivity, artificial lightning current.